

東洋大学 学生員 ○柿沼康浩  
 東洋大学 正員 小泉淳  
 東洋大学 正員 新延泰生

## I. えりかき

車両などの走行荷重によって橋梁には有害な振動が発生する。この原因としては、(1)車両が橋面上を発進または停止する際の動的影響、(2)橋面上の不陸による車両の振動、(3)橋梁端部やヒンジ点の伸縮装置などを車両が通過する際の衝撃作用などが考えられる。これらの中(1), (2)については既に多くの研究がなされ、その成果が実際の設計にも反映されているが、(3)については、未だ充分な研究がなされていないところが多い。

一般に、ヒンジ点を有しない連続桁橋に比較して、ヒンジ点を有する桁橋は振動が大きいことが知られている。これは、ヒンジを有する桁橋では、ヒンジを通過する車両が、ヒンジ点のたわみ角の不連続性から桁に大きな衝撃作用を与えるためと考えられる。本研究はこの点に着目し、中央径間にヒンジを有する三径間連続桁橋を対象として模型実験および理論解析により、ヒンジ点を移動荷重が通過する際に生じる衝撃作用が移動荷重の速度、重量および桁の径間割合によってどのように変動するかを検討したので、昨年度の模型実験の報告の統合として今回は理論解析を中心として述べる。

## II. 解析モデルと基礎方程式

解析モデルをFig. 1に示す。図示の桁上を移動荷重が一定速度で走行するとともに、桁の動きたみに伴う履歴を求める。解析を行うに際して次のよう仮定を設けた。

(1) 桁は三径間連続桁で、中央径間にヒンジを有する、左右対称な形式とする。

(2) ヒンジはせん断力だけを伝達し、曲げモーメントは伝達しないものとする。

(3) 移動荷重は桁のたわみ曲線に沿って、水平方向に一定速度で走行する。

(4) 移動荷重の回転慣性力は無視する。

桁の任意の位置におけるたわみ  $y(t, x)$  は、モード解析から一般座標  $\phi_i(t)$ 、基準関数  $\psi_i(x)$  を用いて次のように示す。

$$y(t, x) = \sum_i \phi_i(t) \cdot \psi_i(x) \quad (1)$$

上式中の  $\psi_i(x)$  は  $i$  次振動の固有振動モードを表している。桁の運動方程式は、以下の式で示す。

$$\ddot{\phi}_i(t) + \frac{m \phi_i(x=vt)}{\int_0^L PA \phi_i^2 dx} \cdot \sum_j \dot{\phi}_j(t) \cdot \phi_j(x=vt) + 2\beta \dot{\phi}_i(t) + \omega_i^2 \phi_i(t) = \frac{m g \phi_i(x=vt)}{\int_0^L PA \phi_i^2 dx} \quad (2)$$

式(2)で、 $m$ 、 $PA$ 、 $\beta$  および  $\omega_i$  はそれぞれ移動荷重の質量、桁の単位長さ当たりの質量、桁の減衰定数および  $i$  次の固有振動数を表している。また  $g$  は重力の加速度を示している。本解析では4次までの振動モードを考慮し、ニューマークの  $\beta$  法 ( $\beta=1/6$ ) により式(2)を解いた。

## III. ヒンジ点における衝撃作用

式(2)の解にはヒンジ点における衝撃作用の影響は含まれていない。本解析では衝撃力によって生じる桁の振動を独立に求め、これをII.で求めた解にたし合せることによって衝撃作用の影響を考慮した。

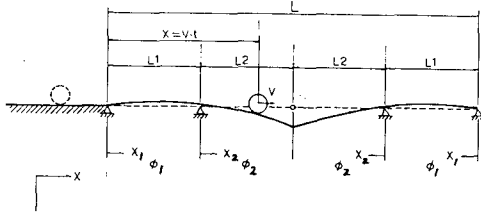


Fig. 1 解析モデル

衝撃力による杆の一次振動の運動エネルギーを  $T_i$ , 衝撃を受けた作用点が衝撃の方向に有する初速度を  $V_i$ , 衝撃を力積  $P$  で表わすと、これらの方には次のようない関係が成立する<sup>4)</sup>。

$$2T_i/V_i = P \quad (3)$$

衝撃  $P$  は次のようにおめられる。移動荷重がヒンジ点に到達する直前の  $y$  方向の速度  $V_y$  を求めれば、力積  $P_{12} = P = mV_y$  で表わされる。すなわち、

$$V_y = v(dy/dx) + (dy/dt) \quad (4), \quad P = mV_y = m\{v(dy/dx) + (dy/dt)\} \quad (5)$$

式(4)の  $V_y$  の第一項は移動荷重の  $y$  方向速度を、第二項は杆の  $y$  方向速度を示している。衝撃による動たわみ  $\psi_i$  を式(1)で表わし、運動エネルギー  $T_i$ 、速度  $V_i$  を求め、これらと式(5)の  $P$  を式(3)へ代入すれば動たわみ  $\psi_i$  の未定係数が決定される。動たわみ  $\psi_i$  は次式で与えられる。

$$\psi_i = \sum_i \frac{m\{v(dy/dx) + (dy/dt)\} \cdot \phi_i^2}{w_i \int_0^l PA \phi_i^2 dx} \sin w_i t \quad (6) \quad \left( \begin{array}{l} \text{この } \psi_i \text{ は、移動荷重がヒンジ点に到達} \\ \text{した直後に II. で求めた解に加えられる} \end{array} \right)$$

#### IV. 数値計算例とまとめ

昨年度に報告した模型実験の値(断面積  $A = 12.267 \text{ cm}^2$ 、断面二次モーメント  $I = 15.25 \text{ cm}^4$ 、ヤング率  $E = 6.81 \times 10^5 \text{ kgf/cm}^2$ 、単位長さ当たりの重量  $PA = 0.03312 \text{ kgf/cm}$ )を例にとって数値計算を行った。Fig. 3 は  $l_1 = 300 \text{ cm}$ ,  $l_2 = 100 \text{ cm}$  (Fig. 1 参照) のスパン割合、移動荷重の大きさおよび速度をそれぞれ  $3.1123 \text{ kgf}$ ,  $175.2 \text{ cm/sec}$  の場合のヒンジにおける鉛直たわみの履歴曲線である。Fig. 4, 5 は同じスパン割に対する、移動荷重の大きさと衝撃係数、速度と衝撃係数との関係を表し、本解析方法は実験値を良く説明していることわかる。なお衝撃係数はヒンジ点のたわみより求めたもので、(動たわみの最大値)/(静たわみの最大値)で定義されるものである。Fig. 6, 7 はスパン割により前述の関係かとのように変化するかを示したものである。最後に数値計算、データ整理などを手伝ってくれた東洋大学、東京電機大学の卒論生諸氏に感謝いたします。

#### 参考文献

- 1) 山田善一・小堀義雄：斜橋ヒンジにおける衝撃とその影響に関する研究、土木学会論文集第105号、2) Nagaraju, N and K.S. Jagadish: Dynamic behavior of cantilever bridges under moving loads, IABSE 33-II, 1973,
- 3) 木村昌・小泉新延：ヒンジを有する連続桁の移動荷重による衝撃に関する実験、土木学会、1983.10., 4) 小野一良：運動エネルギーの一の分配に関する法則、土木学会論文集第33号

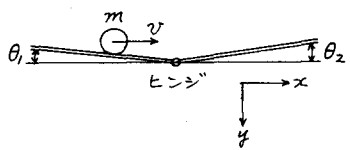


Fig. 2 ヒンジ点

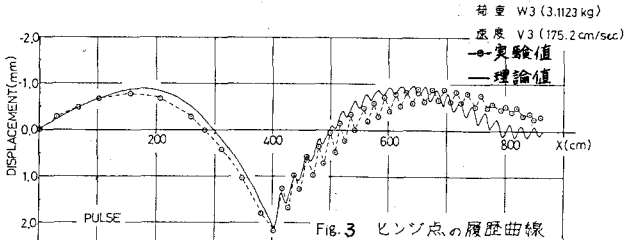


Fig. 3 ヒンジ点の履歴曲線

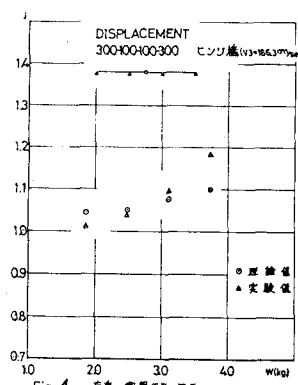


Fig. 4 荷重と衝撃係数の関係

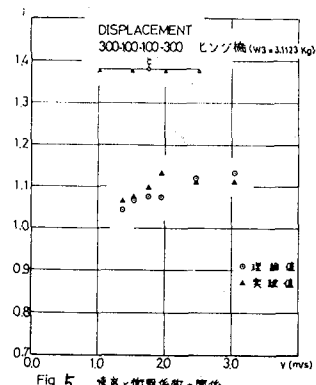


Fig. 5 速度と衝撃係数の関係

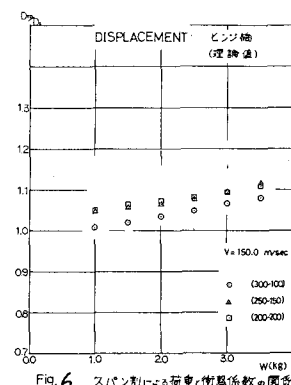


Fig. 6 スパン割による荷重と衝撃係数の関係

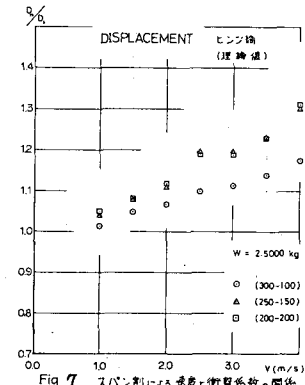


Fig. 7 スパン割による速度と衝撃係数の関係